

SINTESIS POLIMER MEMBRAN SELULOSA ASETAT DAN POLIETILEN GLIKOL DENGAN NANOPARTIKEL SILIKA SEBAGAI BAHAN ADITIF UNTUK REVERSE OSMOSIS

Pembimbing :

Siti Nurkhamidah,S.T.,MS,Ph.D

Dr. Yeni Rahmawati,S.T.,M.T.

Penyusun :

I Made Pendi Adi Merta 2311100033

Deffry Danius Dwi Putra 2311100088



JURUSAN TEKNIK KIMIA
FAKULTAS TEKNOLOGI INDUSTRI
INSTITUT TEKNOLOGI SEPULUH NOPEMBER

Latar belakang



Rumusan dan batasan masalah



Tujuan



Metodologi penelitian



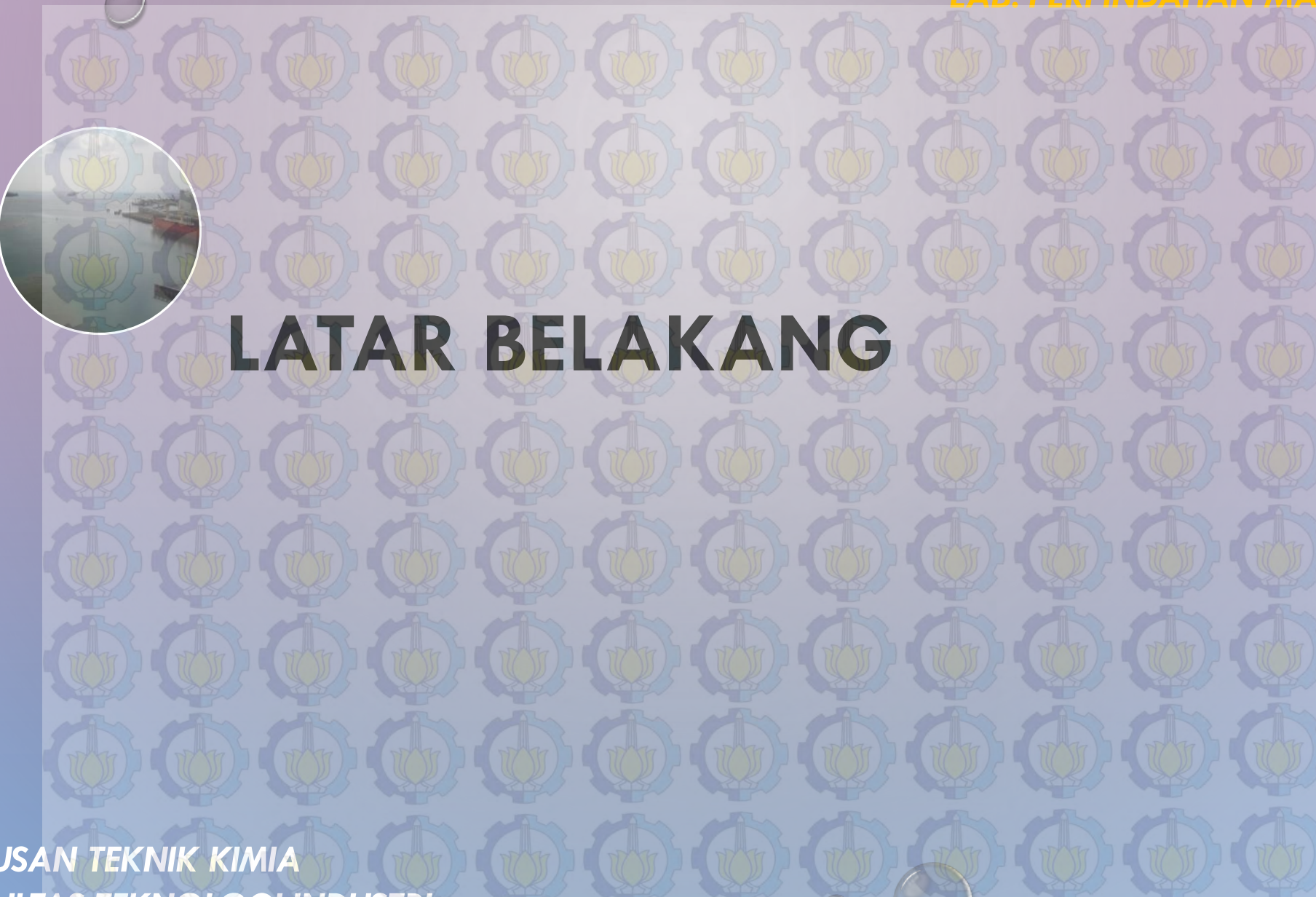
Hasil dan Pembahasan



Kesimpulan dan Saran



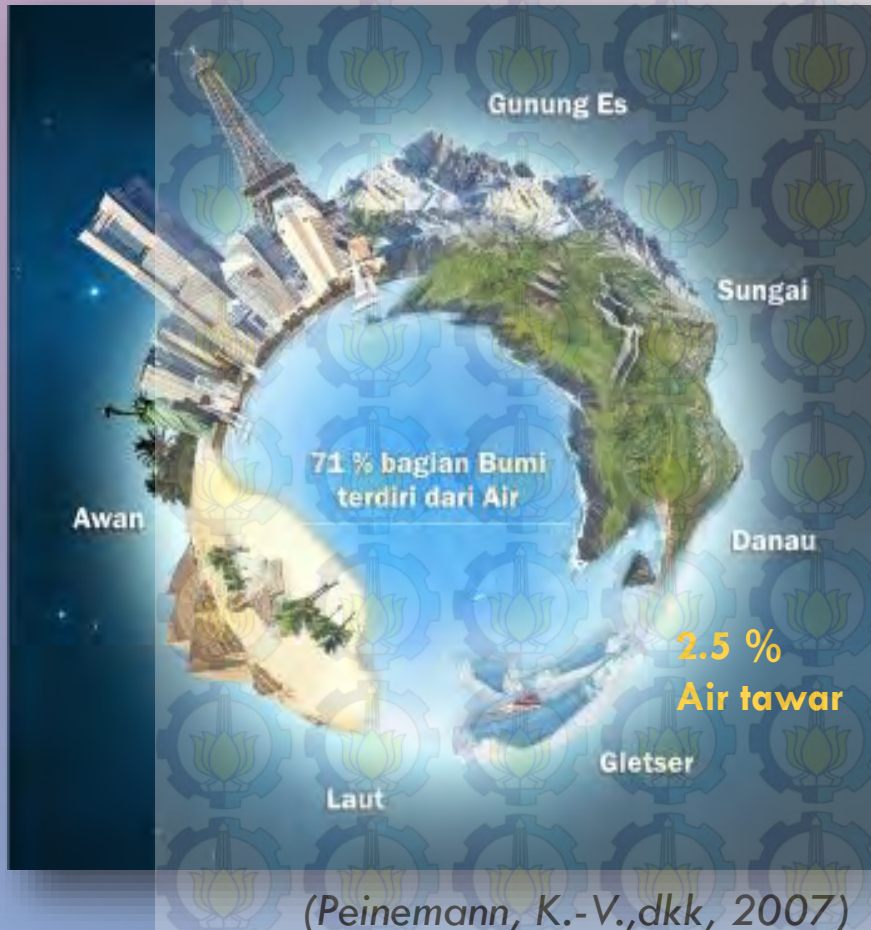
LATAR BELAKANG



JURUSAN TEKNIK KIMIA
FAKULTAS TEKNOLOGI INDUSTRI
INSTITUT TEKNOLOGI SEPULUH NOPEMBER



AIR ADALAH KEBUTUHAN HIDUP UTAMA MANUSIA



UN Water PBB
pada tahun 2025 :
*"3.4 milyar
penduduk dunia akan
hidup kekurangan air
bersih"*

KEKURANGAN AIR-ENDE NTT



(Nugro Raharjo, P, 2008)



ALTERNATIF?



AIR LAUT



LAB. PERPINDAHAN MASSA DAN PANAS

DESALINASI RO

World desalination market

40%
Rest of world

Total market
\$105
billion
2010-16

60%
Arab states:
Saudi Arabia
United Arab Emirates
Kuwait
Qatar
Bahrain
Oman
Iraq
Iran



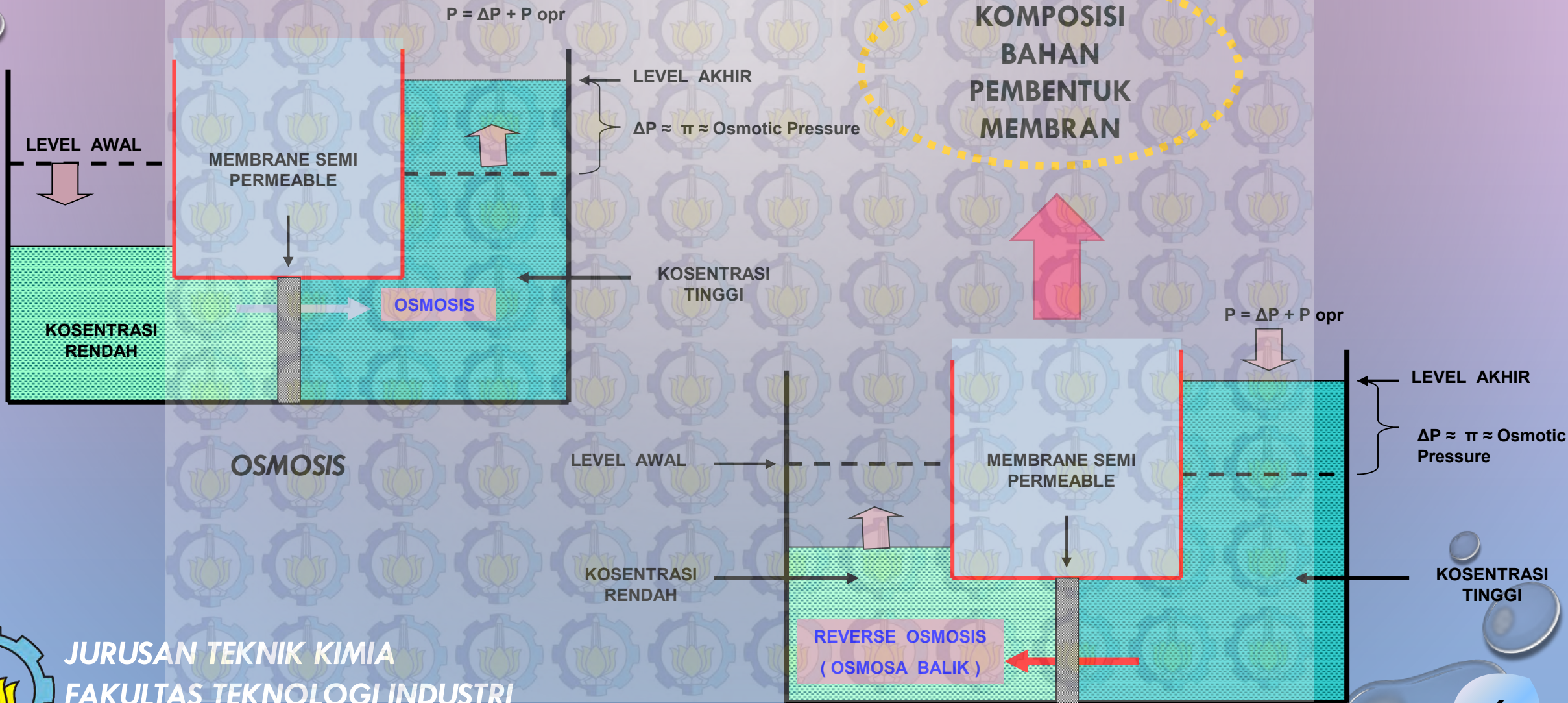
(www.haaretz.com)



JURUSAN TEKNIK KIMIA
FAKULTAS TEKNOLOGI INDUSTRI
INSTITUT TEKNOLOGI SEPULUH NOPEMBER

DESALINASI REVERSE OSMOSIS

LAB. PERPINDAHAN MASSA DAN PANAS



Pengaruh Bahan & Komposisi Pembentuk membran

LAB. PERPINDAHAN MASSA DAN PANAS

JENIS BAHAN:

Lee dkk, 1997: polisulfur(Psf)/N-metil-2-pirolidon (NMP)/ polietilen glikol (PEG)

KONSENTRASI BAHAN:

Sidra dkk, 2014 : selulosa asetat (CA)/polietilen glikol (PEG)

PENAMBAHAN ADITIF:

Adnam.A dkk, 2014: cellulose acetate/polyethylene glycol/ silica

peningkatan berat molekular PEG menyebabkan meningkatnya fluks dan menurunnya rejeki garam, dikarenakan semakin meningkatnya porositas membran.

CA sangat hidrofilik dan dengan komposisi CA/PEG (80/20 % berat) memberikan hasil yang paling optimal yang dilihat dari fluks, rijeksi garam dan *membrane hydrolic resistance*

nanopartikel silika memberikan pengaruh peningkatan fluks, rijeksi garam dan *mechanical stability* pada membran. dengan mengurangi pembentukan *macrovoid* dan meningkatkan pembentukan mikropori



PENAMBAHAN
NANO PARTIKEL
SILIKA

Aneela dkk, 2014 :
cellulose acetate
(CA)/polyethylene
glycol (PEG) dengan
partikel silika ($1 \mu\text{m}$)

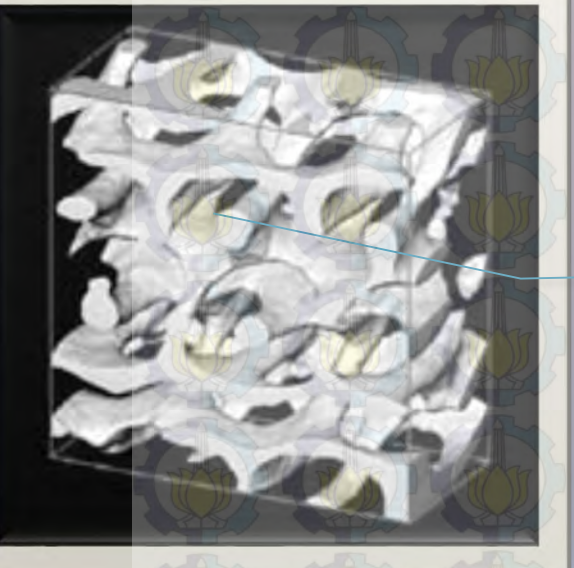
- Dapat membentuk mikroporous, mesopori, dan berpori
- Meningkatkan hidrofilisitas membran
- Ukuran partikel relatif kecil
- Tahan terhadap panas
- Membentuk suspensi yang baik dalam larutan berair

Bagaimana
mekanisme silika
meningkatkan
performa
membran?

- peningkatan kestabilan termal
- meningkatkan fluks
- rijeksi garam
- ketahanan mekanik



Apakah perbedaan ukuran partikel silika dan dari ukuran pori/ Makrovoid yang terbentuk akan memberikan hasil yang berbeda?



Penampang struktur membran
(Childress A.E. dkk, 2012).

Mengcilkan pori dengan menghilangkan makrovoid

Meningkatkan hidrofilisitas membran

Meningkatkan ketahanan termal

Meningkatkan rjeksi garam

Meningkatkan fluks permeat

Ketahanan membran lebih stabil





RUMUSAN & BATASAN MASALAH

Masalah

“Penelitian yang menggunakan nanopartikel silika sebagai bahan tambahan (zat aditif) dalam pembuatan membran untuk proses reverse osmosis (RO), dalam tujuan meningkatkan performa membran, masih belum diteliti ukuran partikel dan konsentrasi penambahan silika yang optimal”.

Batasan masalah:

1. Pembuatan membran reverse osmosis dengan menggunakan polimer CA dan PEG dengan silika sebagai bahan aditif.
2. Air garam sintetis dengan kadar 5000 ppm (sesuai dengan kadar air laut payau pantai Kenjeran).
3. Berat molekul PEG yang digunakan adalah 200 Da atau disebut PEG 200 dan berat molekul CA yang digunakan adalah 30000 Da





TUJUAN PENELITIAN

Tujuan Penelitian

LAB. PERPINDAHAN MASSA DAN PANAS

Mempelajari pembuatan membran *reverse osmosis* (RO) dengan menggunakan polimer CA, PEG dan nanopartikel silika sebagai bahan aditif dengan memvariasikan komposisi CA dan PEG serta ukuran nanopartikel dan konsentrasi silika.

Mempelajari pengaruh variasi komposisi CA dan PEG terhadap karakterisasi dan kinerja membran RO untuk desalinasi air laut

Mempelajari pengaruh variasi ukuran partikel dan konsentrasi silika terhadap karakterisasi dan kinerja membran RO untuk desalinasi air laut.





METODE PENELITIAN

BAHAN



LAB. PERPINDAHAN MASSA DAN PANAS

Selulosa asetat (CA ; Acetyl Content 39,8% : Mw 3000 Da)

Polietilen Glikol 200 (PEG-200 ; Mw 200 Da)

Fumed Silika (0.007 µm, 0.2 µm) dan silika gel 60 µm

Aseton (99.5%) dan NaOH (1%)

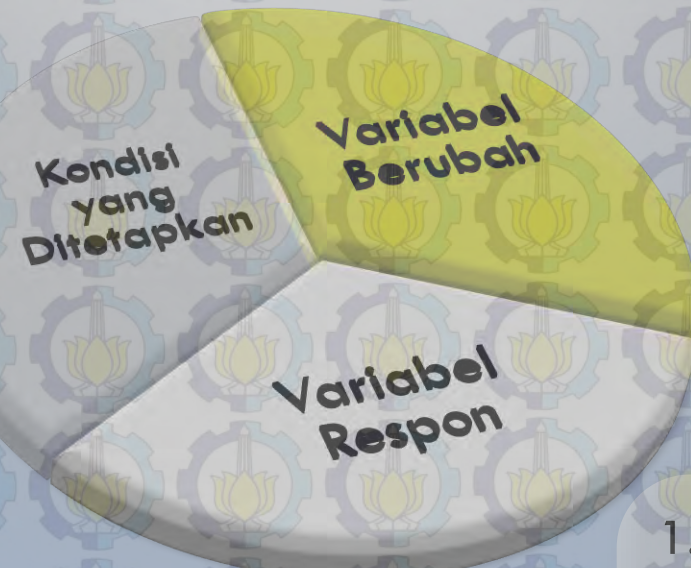


VARIABEL PENELITIAN

LAB. PERPINDAHAN MASSA DAN PANAS

1. Volume Aseton : 17 ml
2. Suhu Pencampuran : 80°C
3. Volume NaOH : 2.5 ml
4. Ketebalan Membran : 200 μm
5. Suhu casting membran : 25°C
6. Suhu quenching : 5°C
7. Suhu pengeringan : 60°C

1. Komposisi CA/PEG (50/50;60/40;70/30;80/20;90/10 wt/wt)
2. Konsentrasi silika di dalam 10 ml NaOH (1-5%)
3. Ukuran partikel silika (0.007;0.2;60 μm)



1. Struktur Morfologi
2. Ikatan Gugus Fungsional
3. Sudut Kontak
4. Fluks permeat
5. Rijeksi garam
6. Permeabilitas membran



ALAT DAN PEMBUATAN ARUTAN MEMBRAN

LAB. PERPINDAHAN MASSA DAN PANAS

Campuran
CA/PEG/ASETON



Pencampuran

1. Botol Sampel

2. Heater

3. Magnetic Stirrer

T= 80 °C, 8 Jam (Homogen)



Pendinginan



CASTING



ALAT DAN PEMBUATAN ARUTAN MEMBRAN

LAB. PERPINDAHAN MASSA DAN PANAS

T= 80 °C, 6 Jam (Homogen)

Campuran
CA/PEG/ASETON



1. Botol Sampel



2. Heater

Pendinginan



3. Magnetic Stirrer

SILIKA
1-5% w/v

menambatkan



suhu ruangan,
12 jam

suhu ruangan, 24 jam
(tidak ada gelembung)

CASTING



ALAT DAN PEMBUATAN MEMBRAN

LAB. PERPINDAHAN MASSA DAN PANAS

$T = 60^{\circ}\text{C}$, 24 jam



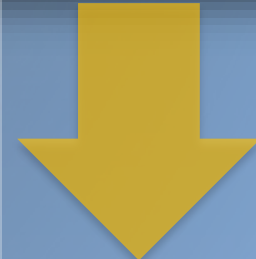
Casting pada
mold, tebal
 $0.025 \mu\text{m}$ (suhu
ruangan)

Quenching



$T = 5^{\circ}\text{C}$ (15 menit)

Pengeringan

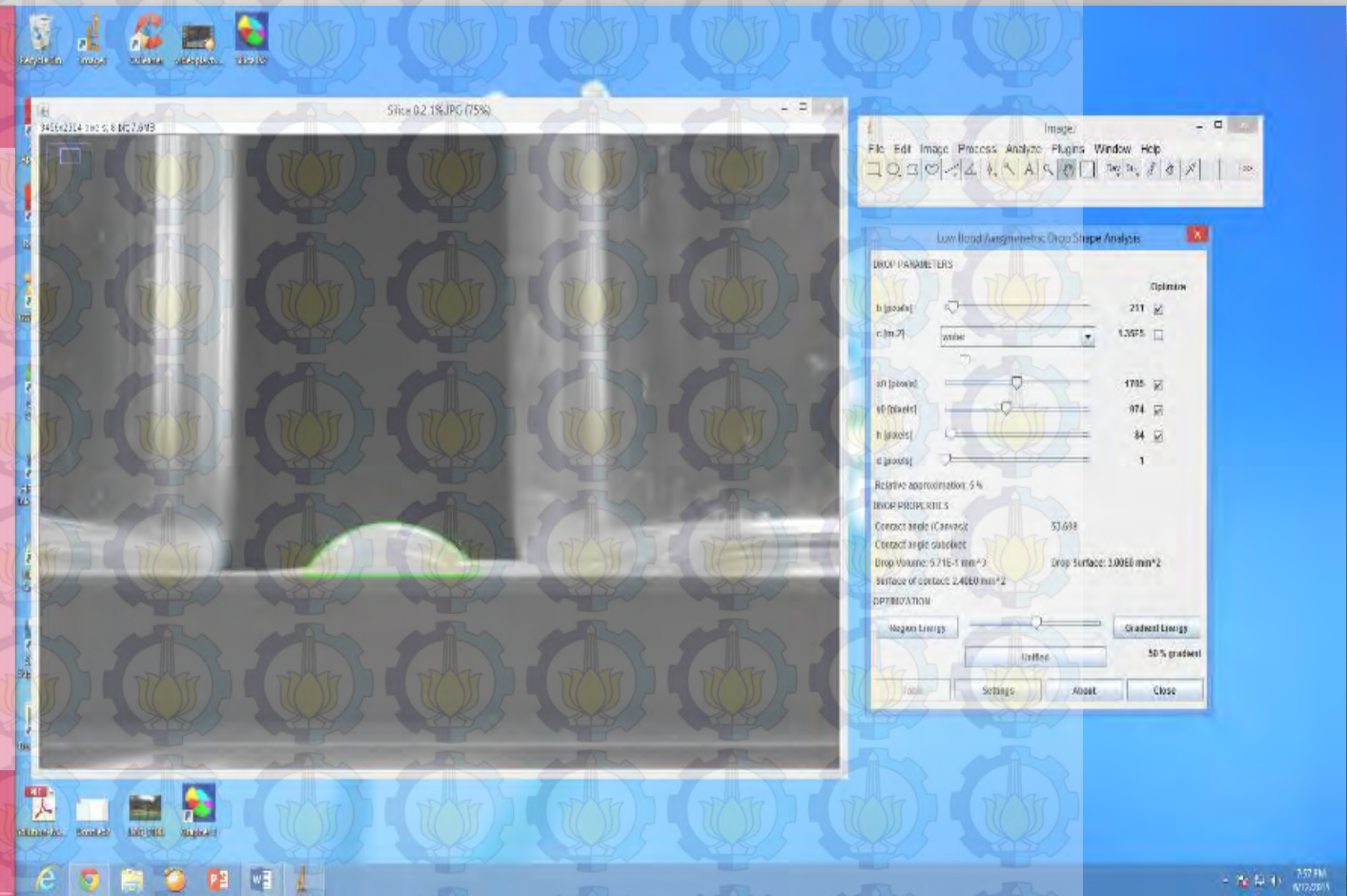


Analisa



Analisa Sudut Kontak:

- Aquadest diteteskan di atas permukaan membran
- Mengambil gambar tetesan Aquadest kemudian diukur sudut kontaknya dengan software ImageJ 8.0



Analisa Struktur Morfologi

- Membran dicelupkan ke dalam nitrogen cair selama beberapa detik
- Membran dipatahkan
- Sampel kemudian dimasukkan ke dalam alat SEM



Analisa ikatan hidrogen

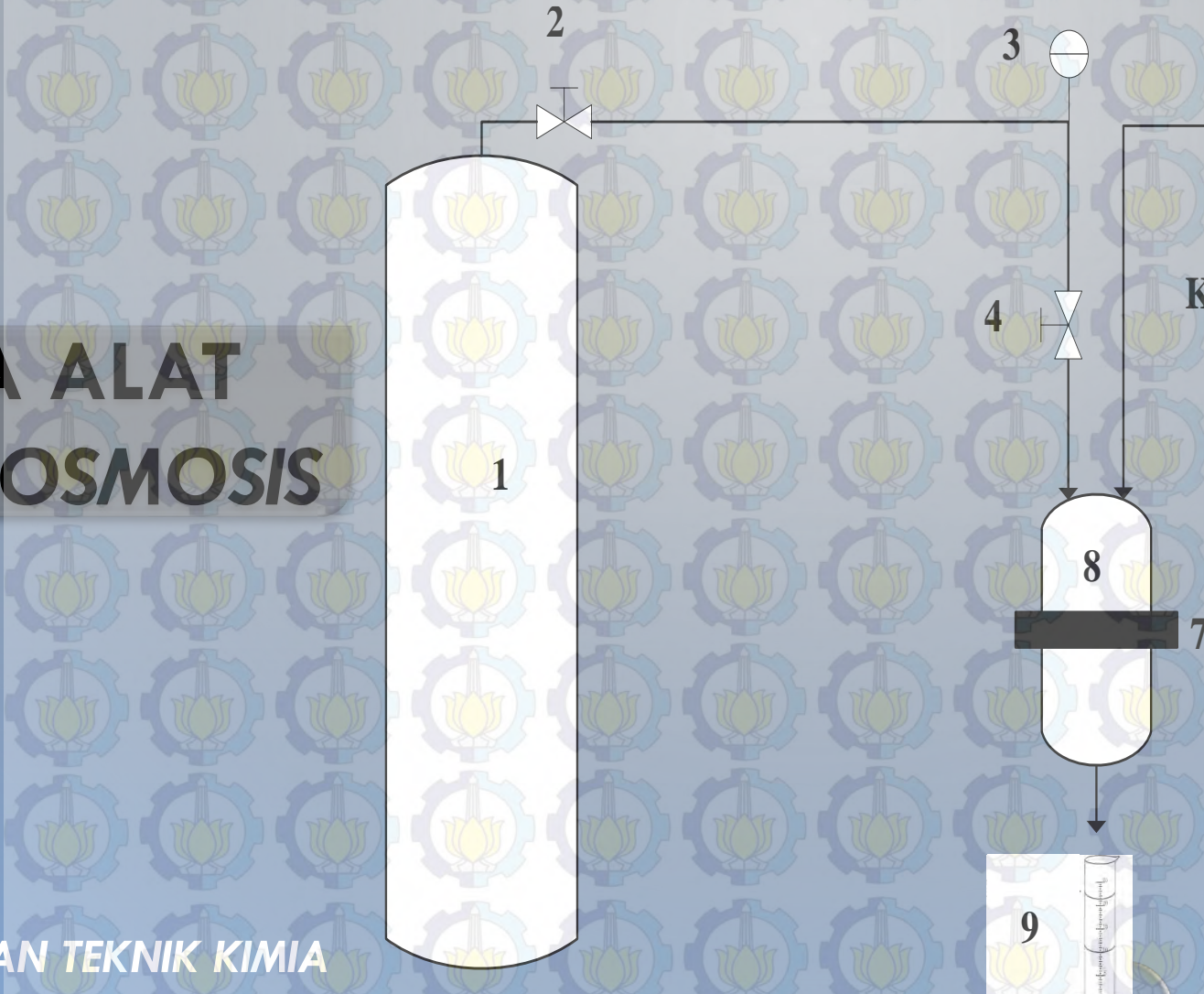
- Membran dimasukkan ke dalam alat FTIR
- Membaca grafik yang terbentuk



ANALISA MEMBRAN

LAB. PERPINDAHAN MASSA DAN PANAS

SKEMA ALAT REVERSE OSMOSIS

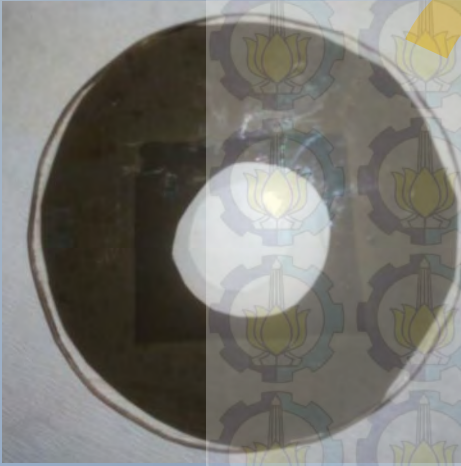


- Keterangan :
1. Tabung nitrogen
 2. Valve pengatur nitrogen
 3. Pressure gauge
 4. Valve pengatur tekanan
 5. Air garam
 6. Valve tempat masuk air garam
 7. Modul reverse osmosis
 8. Tangki penampung air garam
 9. Gelas ukur penampung permeat



ANALISA MEMBRAN

LAB. PERPINDAHAN MASSA DAN PANAS



Diameter membran: 3 cm



Analisa RO:

- Air umpan 5000 ppm
- Tekanan 5 bar
- Waktu: 5 jam

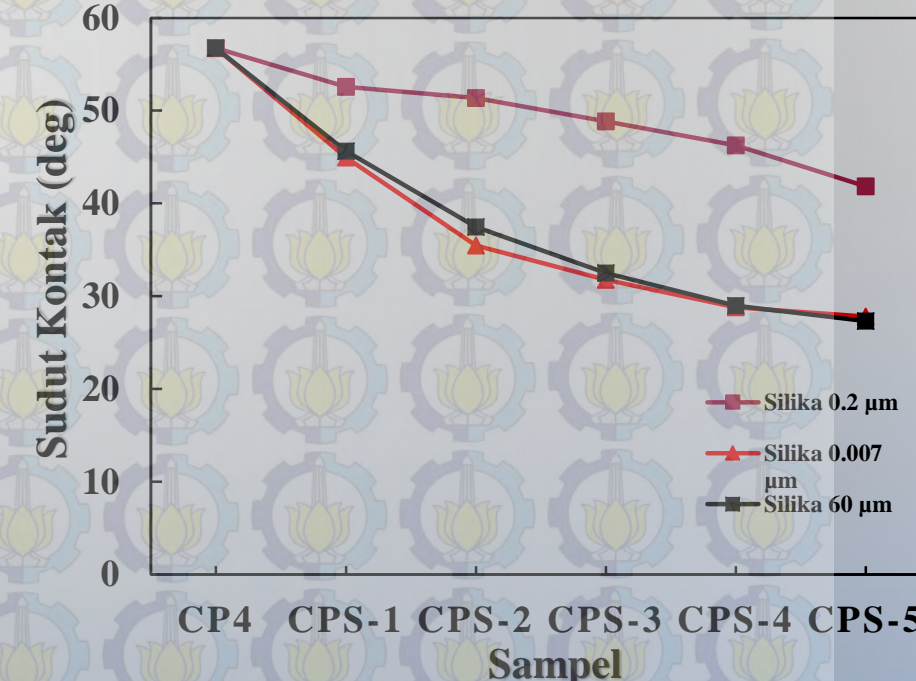
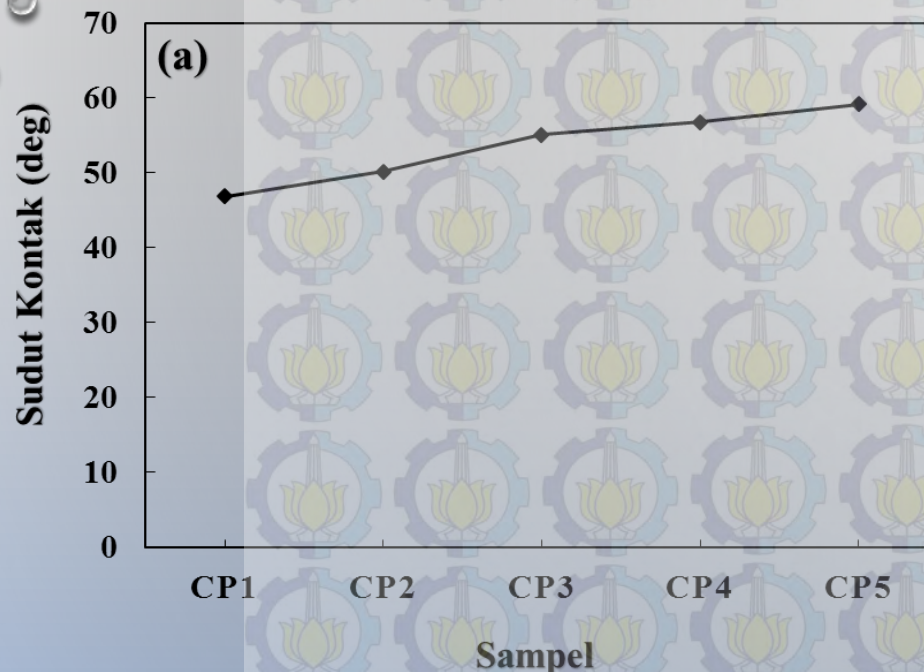




HASIL DAN PEMBAHASAN

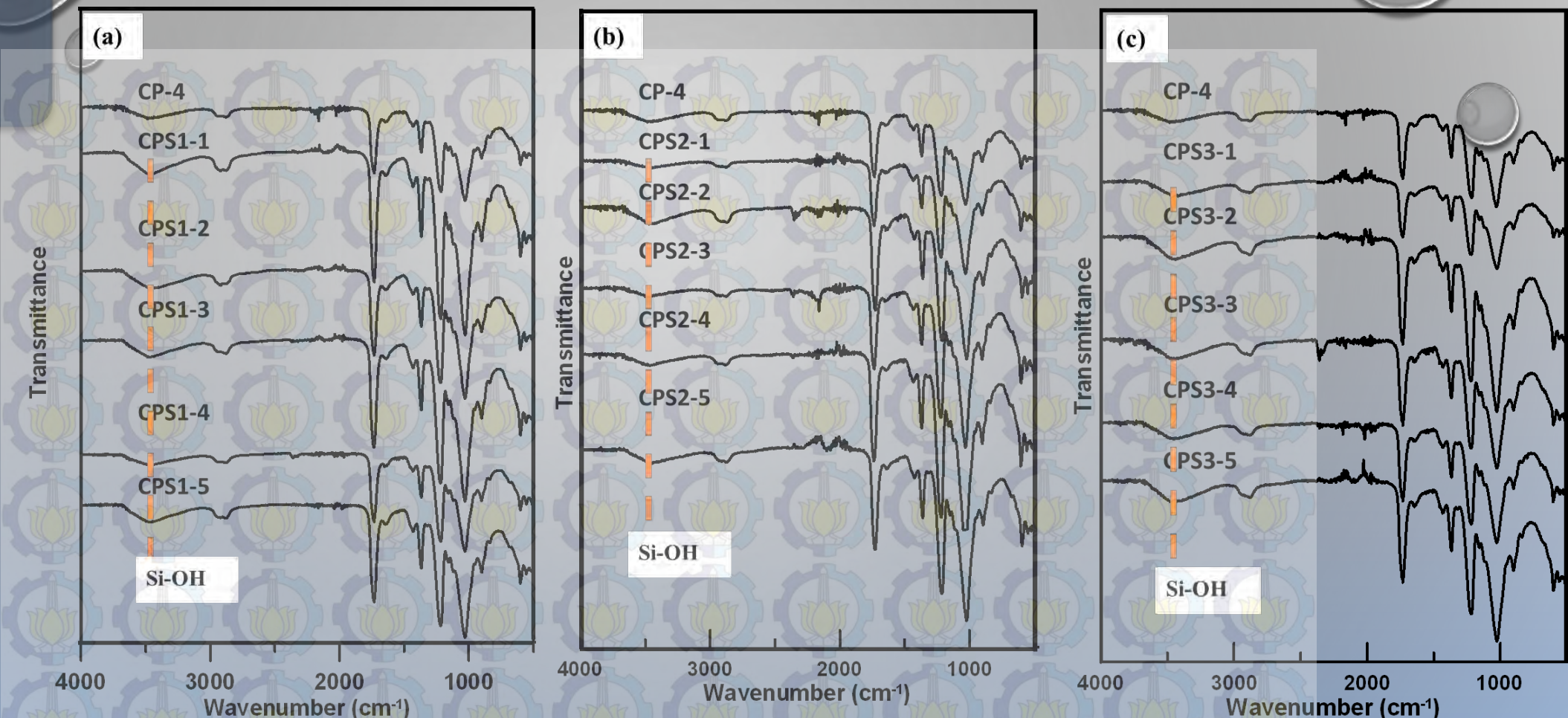
SUDUT KONTAK

LAB. PERPINDAHAN MASSA DAN PANAS



- Peningkatan CA pada membran membuat hidrofilisitas membran menurun (pembentukan selektif layer)
- Secara umum, penambahan silika menurunkan sudut kontak. Dan peningkatan penambahan konsentrasi silika membuat semakin menurunnya sudut kontak.
- Ukuran partikel silika $0.007 \mu\text{m}$ menunjukkan hidrofilisitas membran yang paling tinggi

FTIR

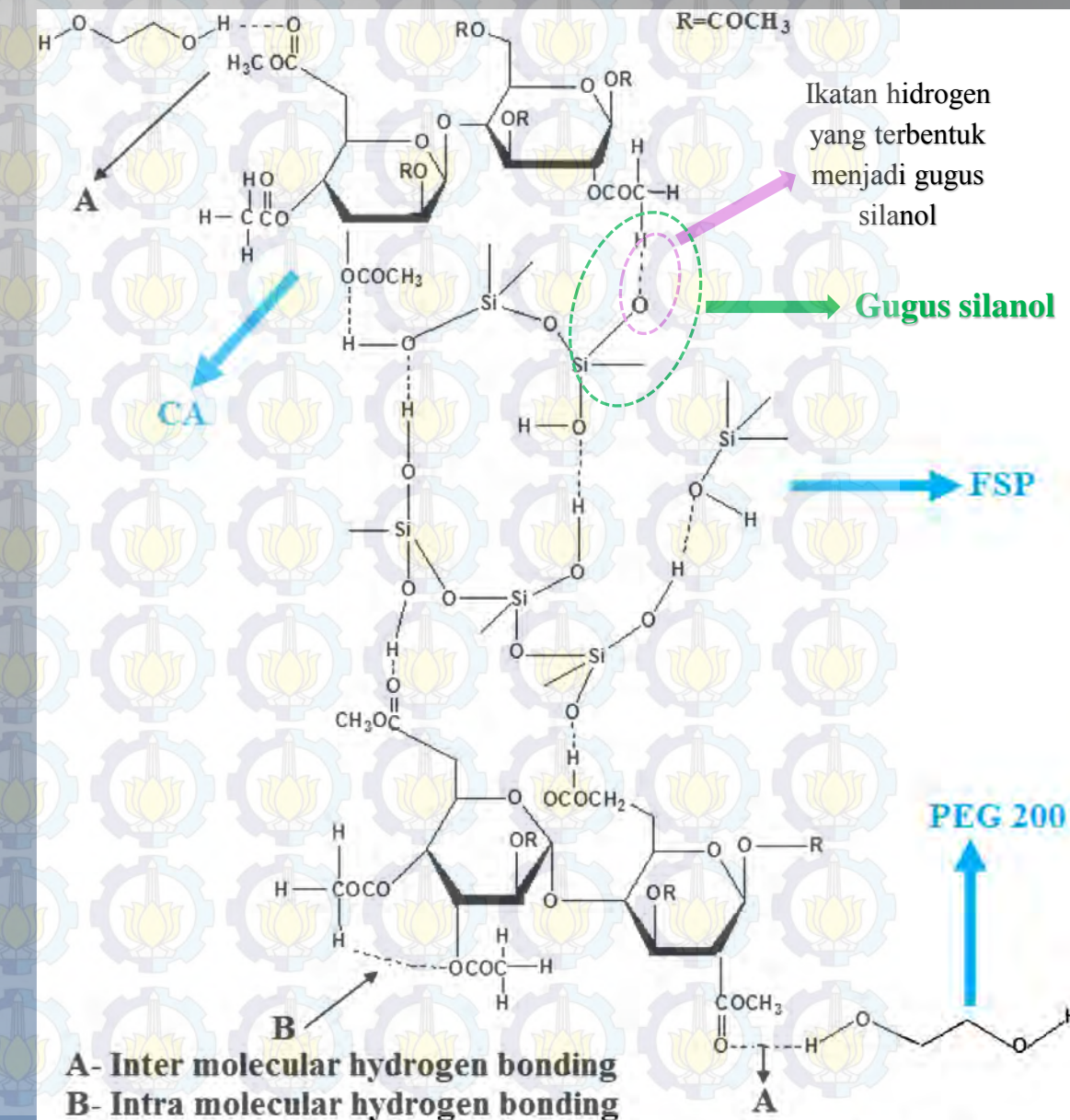


- CP4: menunjukkan ikatan O-H pada peak 3460.06 cm^{-1}
- Secara umum, ikatan gugus silanol (Si-OH) terdapat pada peak disekitaran $3400-3500 \text{ cm}^{-1}$ serta ikatan Si-O-Si asymmetric pada 1026 cm^{-1} dan Si-O-Si symmetric pada 802 cm^{-1}
- Peningkatan konsentrasi silika, meningkatkan luasan gugus hidroksil pada $3400-3500 \text{ cm}^{-1}$

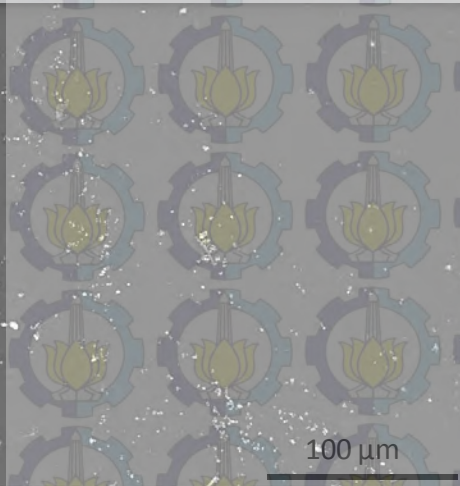


Bagaimana interaksi silika dan CA/PEG meningkatkan hidrofilisitas membran ?

- Luas permukaan pada silika dengan diameter $0,007 \mu\text{m}$ lebih besar daripada silika dengan diameter $0,2 \mu\text{m}$
- 3.5-4.5 gugus hidroksil/ μm^2 permukaan silika (Sigma Aldrich Properties)

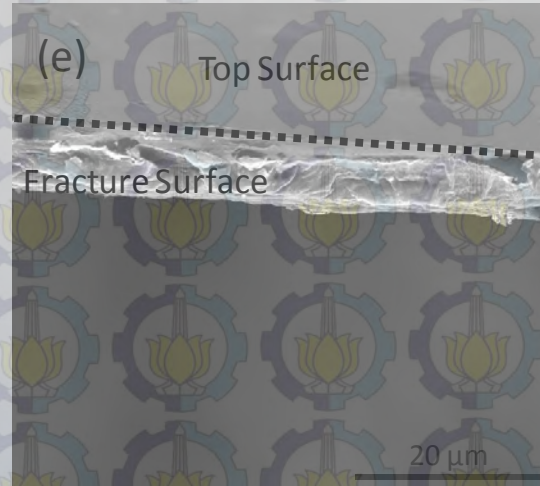


(a)

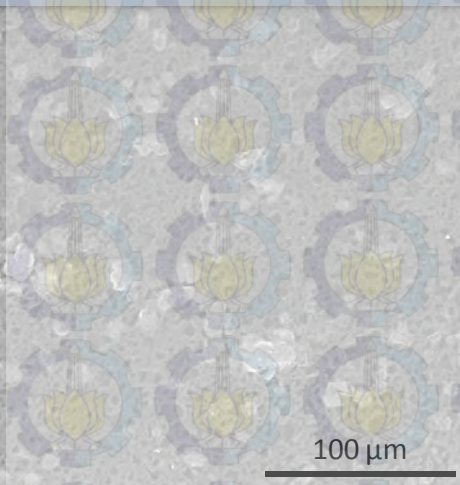


Fracture Surface

(e)

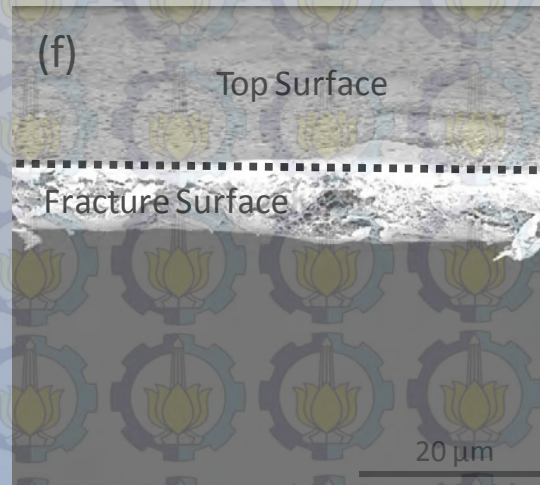


(b)



Top Surface

(f)

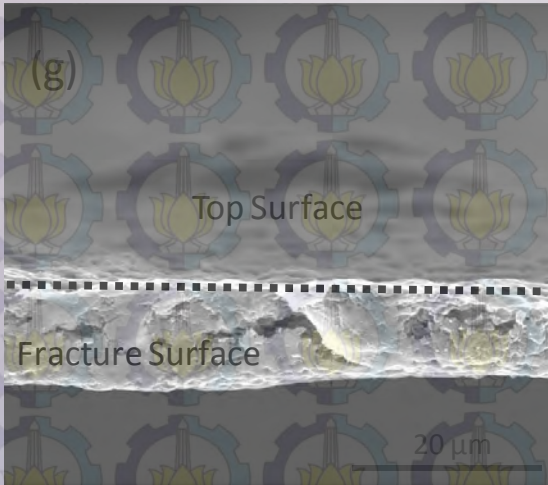
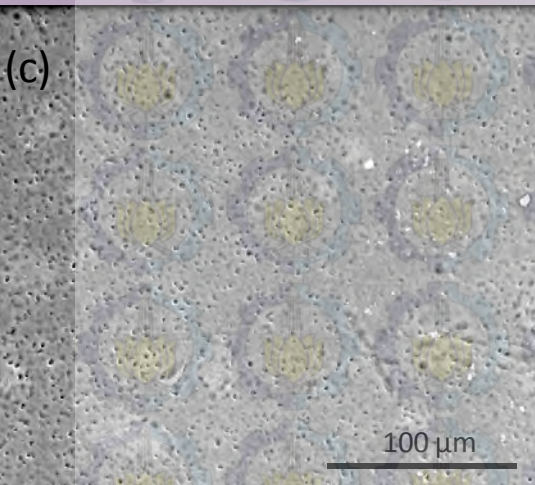


Fracture Surface

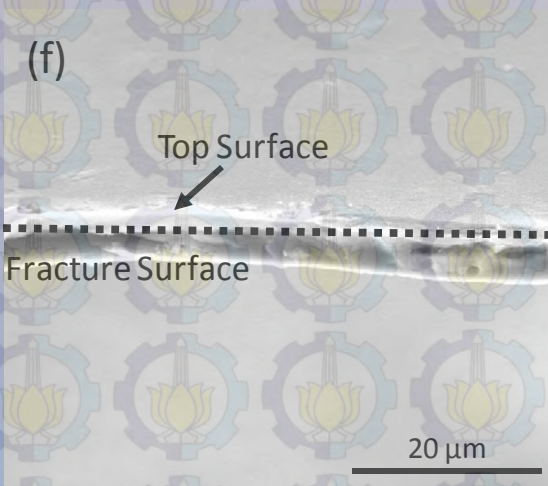
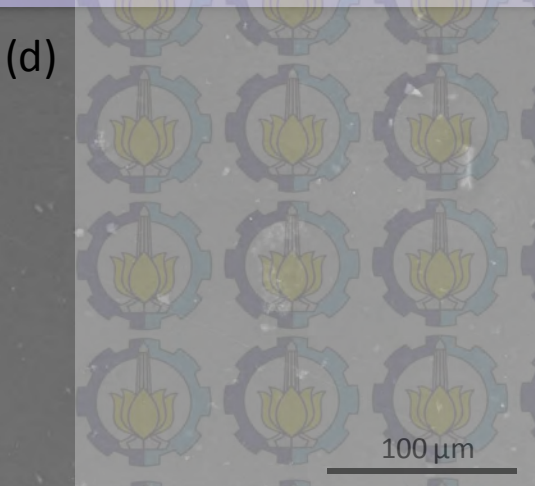
- CP4 : (a) top surface (dense, rapat) dan (e) fracture surface (rongga pori)
- CPS1-5 (pori banyak, $D_{pori} = 2.26 \mu\text{m}$)



CPS2-5



CPS3-5

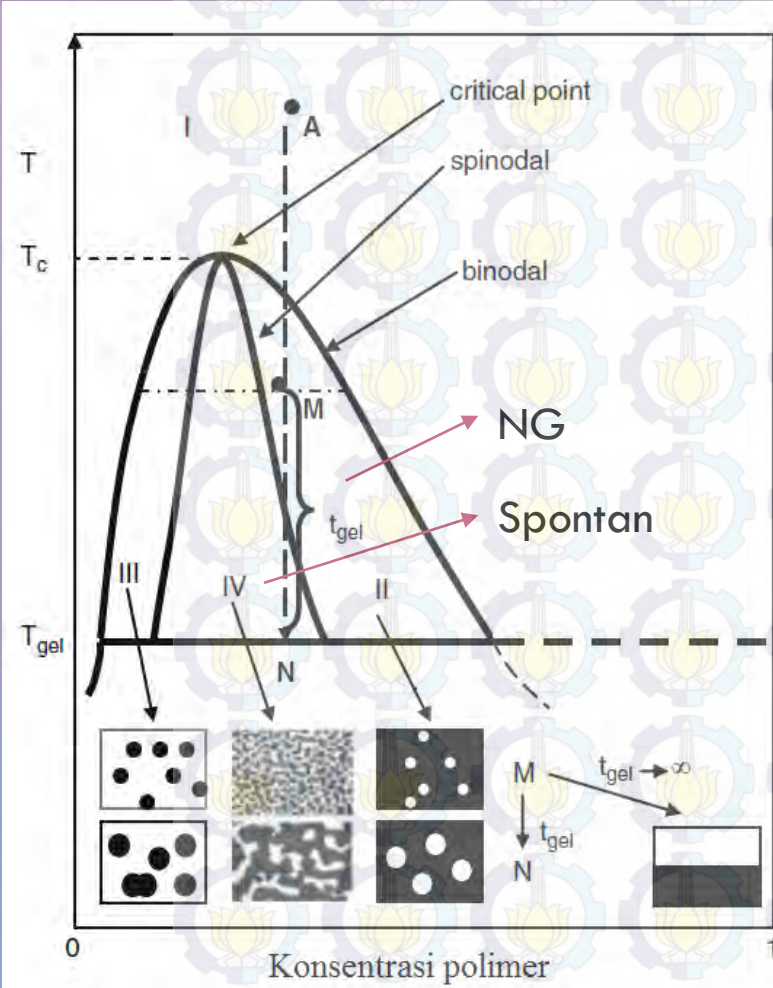


- CPS2-5 (pori banyak, $0.8321\mu\text{m}$)
- CPS3-5 (dense, berongga)
- CPS1-5 dan CPS2-5 termasuk dalam **mikrofiltrasi** ($D_{\text{pori}} = 0.05 \mu\text{m}-10 \mu\text{m}$)



Mekanisme Pembentukan Membran via TIPS

LAB. PERPINDAHAN MASSA DAN PANAS



semakin besar t_g akan memberikan struktur membran yang rapat, akibat dari semakin lamanya proses *demixing* (memberikan pemisahan yang lebih sempurna).

Viskositas yang rendah pada larutan polimer saat *phase separation* mengakibatkan semakin mudahnya *solvent* terpisah dari polimer dan memberikan pembentukan droplet (rongga)

- Konsetrasasi polimer CA/PEG : ACETON = 14.7 % wt/v => optimal RO membran konsentrasi ≥ 20 % wt (Baker dkk, 2004)
- Rate pendinginan (quenching) yang mungkin masih rendah, mengakibatkan t_g yang relatif besar.

Reverse Osmosis (RO)

LAB. PERPINDAHAN MASSA DAN PANAS

Variabel	Fluks permeat (L.m ⁻² .jam ⁻¹)	Rijeksi Garam (%)	Permeabilitas (L.m ⁻² .jam ⁻¹ .bar ⁻¹)
CP4	0.28	26.36	0.05
CPS1-5	1.04	29.87	0.21
CPS2-5	0.57	36.88	0.11
CPS3-5	0.45	27.68	0.09

- CPS1-5 : fluks permeat paling tinggi ($1.04 \text{ L.m}^{-2}.\text{jam}^{-1}$), rijeksi garam paling tinggi (36.88 %).
- CP4 fluks permeat ($0.28 \text{ L.m}^{-2}.\text{jam}^{-1}$), rijeksi garam (26.36 %) permeabilitas ($0.05 \text{ L.m}^{-2}.\text{jam}^{-1}.\text{bar}^{-1}$) yang paling rendah.



Reverse Osmosis (RO)

LAB. PERPINDAHAN MASSA DAN PANAS

Variabel	Fluks permeat (L.m ⁻² .jam ⁻¹)	Rijeksi Garam (%)	Permeabilitas (L.m ⁻² .jam ⁻¹ .bar ⁻¹)
CPS2-1	0.15	29.87	0.02
CPS2-2	0.16	29.87	0.03
CPS2-3	0.22	34.25	0.04
CPS2-4	0.28	36.88	0.05
CPS2-5	0.56	36.88	0.11

- peningkatan penambahan konsentrasi fumed silika dari 1%-5% menunjukkan peningkatan fluks permeat, rijeksi garam dan permeabilitas membran.
- performa yang paling maksimal ditunjukan oleh CPS2-5



KESIMPULAN DAN SARAN

KESIMPULAN

LAB. PERPINDAHAN MASSA DAN PANAS

1. Semakin meningkat komposisi CA di dalam polimer membran membuat membran semakin dense dan hidrofilisitas yang semakin menurun
2. Hidrofilisitas membran, fluks permeat, permeabilitas, dan rjeksi garam semakin meningkat dengan semakin kecilnya ukuran partikel silika dan semakin besarnya konsentrasi silika yang ditambahkan ke membran CA/PEG
3. Membran yang paling optimal untuk proses desalinasi adalah pada komposisi CA/PEG 80/20 dengan penambahan silika 0.2 μm sebesar 5%



SARAN

LAB. PERPINDAHAN MASSA DAN PANAS

1. Perlu adanya penelitian lebih lanjut terhadap range ukuran partikel silika gel yang dapat memberikan performa membran yang lebih baik dibandingkan dengan fumed silika.
2. Perlu dilakukan penelitian lebih lanjut terhadap polimer/solven (w/v) untuk mendapatkan pori yang dapat mendukung optimalisasi kinerja membran.



DAFTAR PUSTAKA



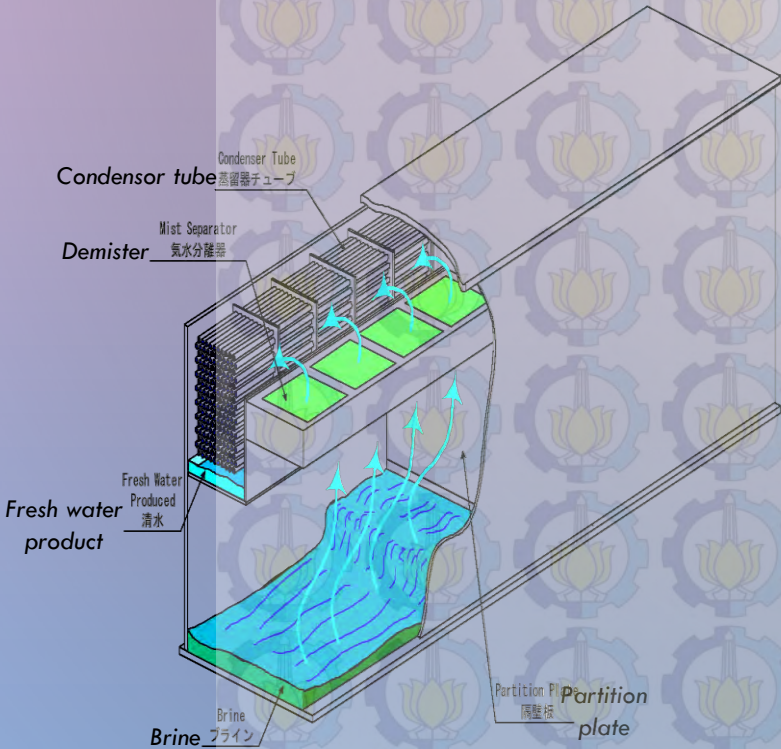


LAMPIRAN



PADA UNIT DESALINASI TERDAPAT 2 PILIHAN TEKNOLOGI YANG UMUM DIGUNAKAN

DESALINASI THERMAL



DESALINASI RO



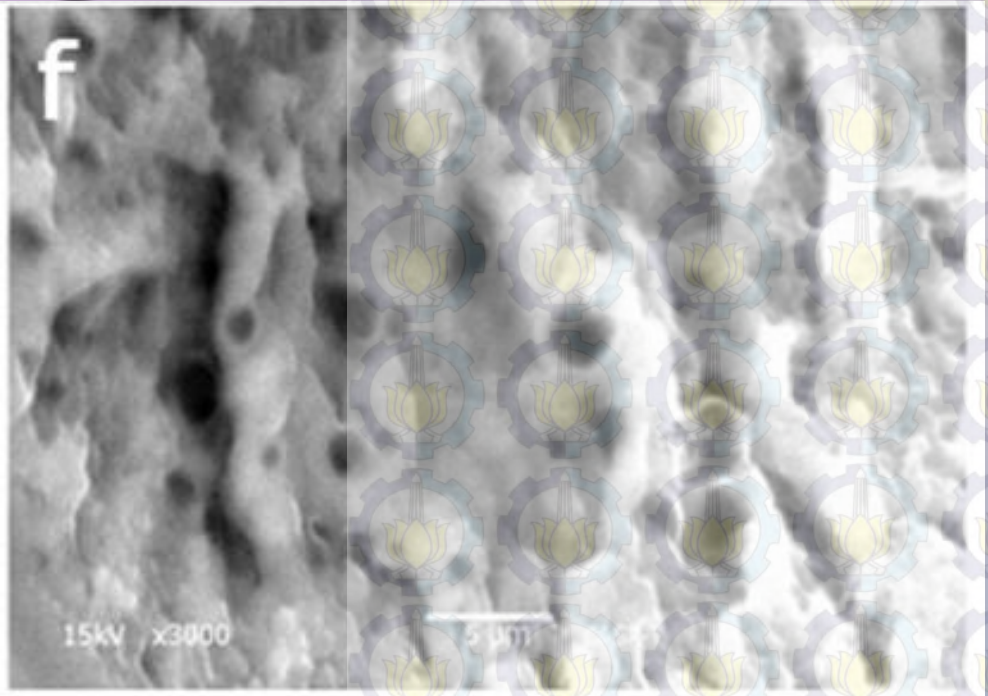
PERBANDINGAN KONSUMSI ENERGI DESALINASI RO DAN THERMAL

PARAMETER	RO (Rp. /m ³)	DESAL THERMAL (Rp. /m ³)
Membran, Cartridge	1150,3	-
Listrik	3043,46	590,63
Chemical treatment	1192,39	678,94
Steam 4K	-	16923,46
Steam 40 K	-	1624,63
Steam Kondensat	-	
Total	5385,89	19817,56

(Analisa PE 7 April 2010)



MEMBRAN YANG DIINGINKAN



Parameter	Performa membran
Hidrofilisitas	Sangat hidrofilik
Ukuran pore	Micropore , < 2 nm
Rijeksi garam	Tinggi , >98.4%
Fluks permeat	> 0.65 L/m ² .jam

Struktur membran

(Aneela S. dkk, 2014)



KLASIFIKASI UKURAN PORE MEMBRAN

Table 2.1 IUPAC classification of pores as a function of their size

Micropores (<2 nm)			
Ultramicropores $<0.7 \text{ nm}$	Supermicropores $>0.7 \text{ nm}$	Mesopores $2\text{--}50 \text{ nm}$	Macropores $>50 \text{ nm}$

(Andre A. dkk, 2008)



PERBANDINGAN PROSES FILTRASI MEMBRAN

Table 1 Typical properties of pressure-driven membranes

	Microfiltration	Ultrafiltration	Nanofiltration	Reverse osmosis
Pore size (nm)	50–10 000	1–100	~2	<2
Water permeability ($\text{l m}^{-2} \text{ h}^{-1} \text{ bar}^{-1}$)	>500	20–500	5–50	0.5–10
Operating pressure (bar)	0.1–2.0	1.0–5.0	2.0–10	10–100
MWCO (Da)	Not applicable	1000–300 000	>100	>10
Targeted contaminants in water	Bacteria, algae, suspended solids, turbidity	Bacteria, virus, colloids, macromolecules	Di- and multivalent ions, natural organic matter, small organic molecules	Dissolved ions, small molecules
Membrane materials	Polymeric, inorganic	Polymeric, some inorganic	Thin-film composite polyamide, cellulose acetate, other materials (Schafer <i>et al.</i> , 2005)	Thin-film composite polyamide, cellulose acetate

Adapted from Winston and Sirkar (1992) and Mulder M (1996) *Basic Principles of Membrane Technology*, 2nd edn. Dordrecht: Kluwer.

(Fane dkk, 2011)

PERBANDINGAN SIFAT HIDROFILIK BAHAN POLIMER

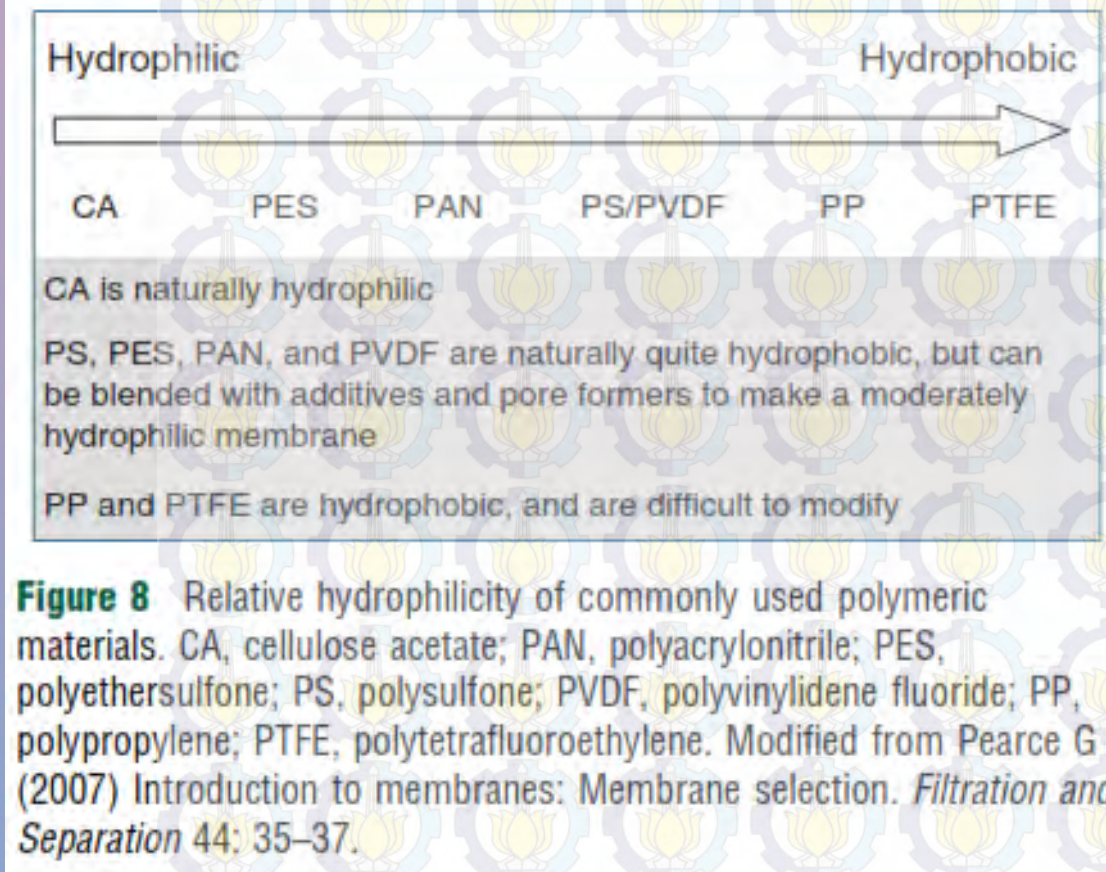


Figure 8 Relative hydrophilicity of commonly used polymeric materials. CA, cellulose acetate; PAN, polyacrylonitrile; PES, polyethersulfone; PS, polysulfone; PVDF, polyvinylidene fluoride; PP, polypropylene; PTFE, polytetrafluoroethylene. Modified from Pearce G (2007) Introduction to membranes: Membrane selection. *Filtration and Separation* 44: 35–37.

(Fane dkk, 2011)



Standar Baku Mutu Air Bersih

Parameter	Kandungan
pH	6-8
Kesadahan	Maksimal 500 mg/L
Besi (Fe)	0.1-1 mg/L
Mangan (Mn)	0.05-0.5 mg/L
Bakteri Coli	10 coli/100 ml air

(<http://www.indonesian-publichealth.com> , 27/01/2015)



SOLUBILITAS SILIKA

Table 2.7 Solubility of amorphous silica in alcoholic solutions (from [9])

Wt. % of methanol in water-methanol mixtures	Solubility at 25 °C (mg/liter)	Anhydrous alcohol	Solubility at 500 °C (ppm)
0	140	CH ₃ OH	1890
25	75	C ₂ H ₅ OH	164
50	40	n-C ₃ H ₇ OH	8
75	15		
90	5		

(Andre A. dkk, 2008)



KARAKTERISITIK DARI SILICA GEL ADALAH SEBAGAI BERIKUT :

UKURAN PERTIKEL : 60-200 MIKRON

PORI-PORI : 60 Å

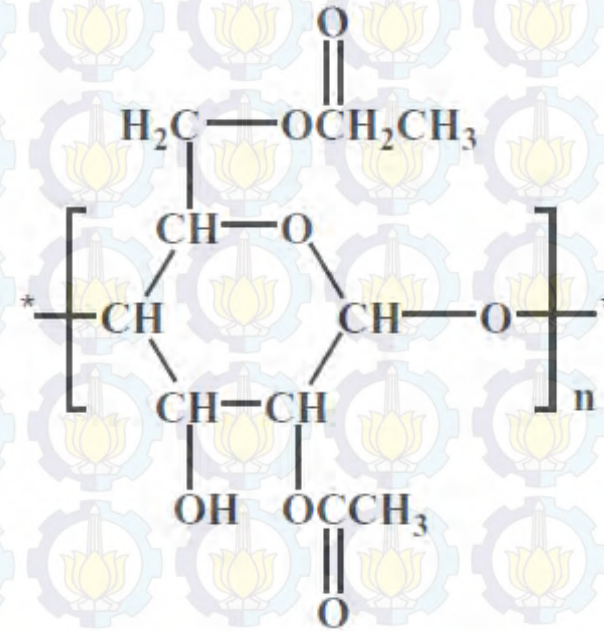
PH : 7

KANDUNGAN AIR: 6%

DAN LUAS PERMUKAAN SPESIFIK 500 M² /G.

(IDENTIFIKASI KANDUNGAN SQUALENE DARI MINYAK NYAMPLUNG (*CALOPHYLLUM INOPHYLLUM*) - SETIYO, DKK)

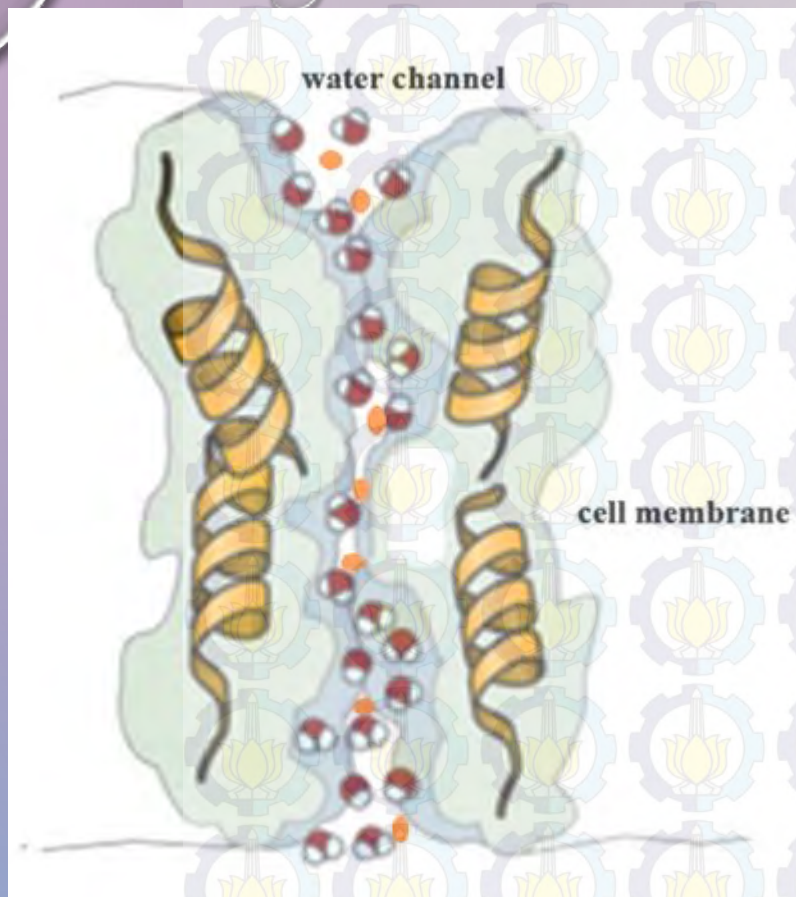




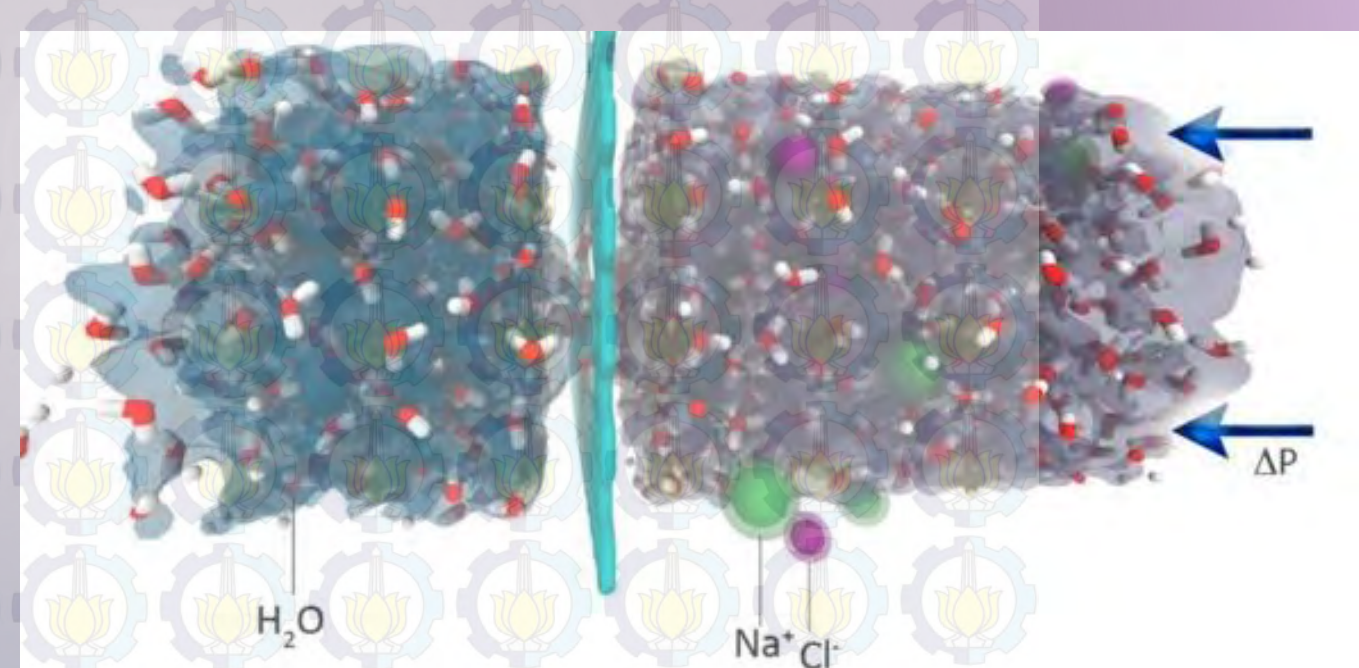
Cellulose acetate



Variabel	Fluks permeat (L.m ⁻² .jam ⁻¹)	Rijeksi Garam (%)	Permeabilitas (L.m ⁻² .jam ⁻¹ .bar ⁻¹)
CPS1-1	0.22	21.10	0.04
CPS1-2	0.76	22.08	0.15
CPS1-3	0.79	24.86	0.15
CPS1-4	-	-	-
CPS1-5	1.04	29.87	0.20



Ion dan molekul melewati membran melalui pori secara diffusi



Molekul air yang berikatan dengan gugus hidrosil Cellulosa acetate yang berjejer secara bertahap mengantarkan ion dari satu ikatan hydrogen ke ikatan hydrogen lainnya, hingga bisa melewati memebran



Sigma product	Particle size (μm)	Surface area (m^2/gram)	Density (lb/cu. ft)
S5130	0.007	390 \pm 40	2.3
S5255	0.008	325 \pm 25	2.3
S5380	0.011	255 \pm 15	4.5 \pm 0.5
S2128	0.012	200 \pm 25	2.3
S5505	0.014	200 \pm 25	2.3

(SIGMA ALDRICH PROPERTIES)



$$\pi = 1,12 \cdot (273 + T) \cdot \sum m_f$$

Where:

$\sum m_f$: sum of molality concentration of all constituents in a solution (moles of solute/kg of solvent)

The molality is calculated with the following formula:

$$\text{Molality (m)} = \frac{\text{moles of solute}}{\text{kilograms of solvent}}$$

5000 ppm



4.9 bar

<http://www.lenntech.com/calculators/osmotic/osmotic-pressure.htm>



$$\pi = i \cdot \phi \cdot C \cdot R \cdot T$$

where:

i = number of ions produced during dissociation of solute

ϕ = osmotic coefficient, unit less

C = concentration of all solutes, moles/L

R = universal gas constant, 0.083145 L·bar/moles·K

T = absolute temperature, K

The factor i is also called the dissociation factor or the van't Hoff factor.

